短程脱氮中不同分段进水模式下氧化亚氮产量

王莎莎^{1,2},汪传新¹,巩有奎¹,杨庆¹,彭永臻¹

(1. 北京工业大学 北京市水质科学与水环境恢复工程重点实验室,北京,100124; 2. 镇江市水业总公司,江苏镇江,212001)

摘要:利用 SBR 反应器,控制曝气量为 60~L/h,考察实际生活污水在不同分段进水模式下短程脱氮过程中 N_2O 的产量。结果表明: N_2O 主要产生在硝化阶段;随着分段进水段数的增加, NO_2 ⁻的积累减少。不同进水方式下 SBR 短程脱氮 N_2O 产量不同,3 种进水方式 N_2O 产量由小到大顺序为:3 次进水,2 次进水,1 次进水。其原因是由于氨氧化细菌(AOB)主要是以 NO_2 ⁻为电子受体,以还原性氢或者氨为电子供体进行好氧反硝化。

关键词:生活污水; NO_2^- ;分段进水; N_2O

中图分类号: X703 文献标志码: A 文章编号: 1672-7207(2012)12-4944-05

Production of N₂O of shortcut biological nitrogen removal with different step-feeding modes

WANG Sha-sha^{1,2}, WANG Chuan-xin¹, GONG You-kui¹, YANG-qing¹, PENG Yong-zhen¹

(1. Key Laboratory of Beijing for Water Quality Science and Water Environment Recovery Engineering, Beijing University of Technology, Beijing 100124, China;

2. Zhenjiang Water Industry Company, Zhenjiang 212001, China)

Abstract: The production of N_2O of domestic sewage with different step-feeding modes was inspected during shortcut biological nitrogen removal. Sequencing batch reactor was used in the experiment and the aeration was controlled at 60 L/h. The results show that N_2O is mainly produced in the nitrification stage; the accumulation of NO_2^- decreases along with the increase of steps. The N_2O output increasing order with different feeding modes is as follows one-step influent, two-step influent, and three-step influent. The reason is that ammonia-oxidizing bacteria used nitrite as electron acceptors and reducing hydrogen or ammonia as electron donors for aerobic denitrification.

Key words: domestic sewage; nitrite; step-feeding; N₂O

 N_2O 是一种重要的温室气体,它的温室效应为 CO_2 的 310 倍 $[^{11}$ 。当 N_2O 进入平流层后,可发生光化 学反应破坏臭氧层,在一定条件下,又可产生光化学 烟雾及酸雨,破坏环境。而污水在脱氮过程中会有 N_2O 释放,并被认为是一个潜在的污染源。因此减少污水脱氮过程中 N_2O 的产生也越来越受到人们的重视。 N_2O 产生与很多因素有关。低溶解氧(DO),短污泥停留时间(SRT),低碳氮比,亚硝酸盐的积累等均会造成

 N_2O 的大量释放 $[^{2-5]}$ 。并且很多报道认为在硝化反硝化过程中 NO_2 积累是 N_2O 产生的关键因素 $[^{4, 6-7]}$ 。目前短程脱氮被认为在技术上和经济上是可行的,特别是在处理高氨氮废水和低碳氮比的废水方面。短程硝化反硝化技术是将生物硝化过程控制在 NO_2 阶段,而后直接进行反硝化。与传统的硝化反硝化技术相比,短程反硝化技术主要有可降低曝气量和所需要的碳源较少等 $[^{8]}$ 优点。传统 SBR 的 1 次进水中,废水中的有机

收稿日期:2012-02-05;修回日期:2012-05-16

基金项目:"十一五"国家科技支撑计划重点项目(2009BAC57B01);国家自然科学基金资助项目(51008005);北京市属高等学校人才强教计划项目通信作者:彭永臻(1949-) 男 黑龙江哈尔滨人 教授 从事污水生物脱氮除磷及其过程控制方面的研究;电话:010-67392627;E-mail pyz@bjut.edu.cn

物不能被有效地利用 ,并且反硝化时需要投加外碳源。 等量分段进水 SBR 是对传统 SBR 的改进,废水分多次等量的加入 SBR 中 ,废水中的有机物在第 2 段或者以上阶段(最后一段除外)被作为电子受体进行反硝化 $^{[9-10]}$ 。分段进水 SBR 可以利用废水中的有机物进行反硝化 ,并且可以减少每一段反应过程中 NO_2 一的积累量 ,对减少 N_2O 产生也具有一定的作用。短程脱氮硝化过程中 NO_2 一浓度的积累较大,产生的 N_2O 也比较多,因此对环境的影响也不容置疑。本文作者考察实际生活污水中不同的分段进水模式下 N_2O 的产生情况,为降低生活污水短程生物脱氮过程中 N_2O 释放量提供参考。

1 试验装置及方法

1.1 试验用水水质及种泥

试验用水取自北京某大学实际生活污水,该水水质为 NH_4^+ -N 平均质量浓度为 72.6 mg/L,COD 平均质量浓度为 150 mg/L。实验用污泥取自北京某高校中试 SBR 系统。中试反应器总容积 6 m³,采用进水—好氧—缺氧—静沉—排水运行工艺,通过在线实时控制,连续运行 180 d 后, NO_2^- 积累率达 90%以上,成功实现了短程生物脱氮过程。

1.2 试验装置及运行

试验装置如图 1 所示,试验所用 SBR 反应器有效体积 11 L,反应器采用搅拌器搅拌,用黏砂块作为微孔曝气头,曝气量为 60 L/h。反应过程水温控制在 (25.0 ± 1.0) 。实时监控 DO 浓度和 pH。污泥质量浓度为 3 200~3 500 mg/L。反应器采用密闭方式运行,

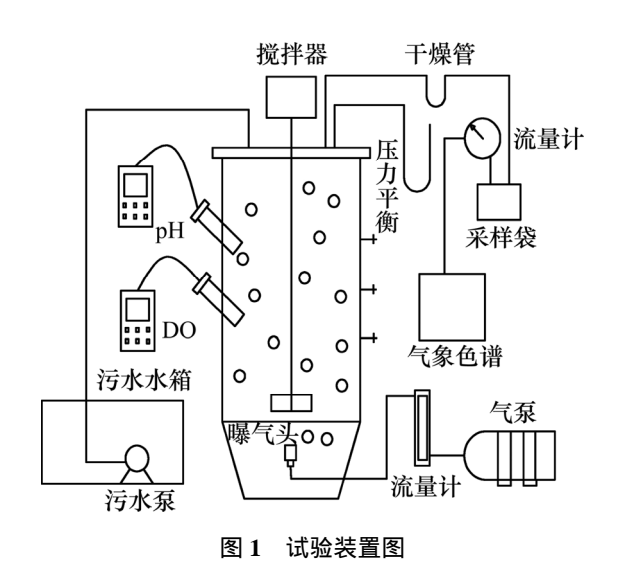


Fig.1 Schematic diagram of experimental system

反应阶段产生的气体经干燥器干燥去除水分后,间隔 30 min 收集至气体采样袋,以气相色谱仪测定所收集 气体中 N_2O 质量浓度,利用湿式流量计测气体体积。 同时,取污泥混合液并测定溶解态 N_2O 质量浓度。

试验操作步骤分为以下 2 个过程:

- (1) 1 次进水:每个周期包括进水,曝气,缺氧(乙醇作为反硝化碳源),沉淀,闲置5部分。进水量为9L,然后曝气,通过实时控制,进行反硝化,并投加乙醇,最后沉淀静置。
- (2) 分次进水(2 次、3 次等量进水): 2 次进水时, 初始进水 4.5 L,短程硝化结束后,再投加 4.5 L 原水, 再通过实时控制,进行短程硝化反硝化。3 次进水与 2 次进水过程相似。具体过程如图 2 所示。

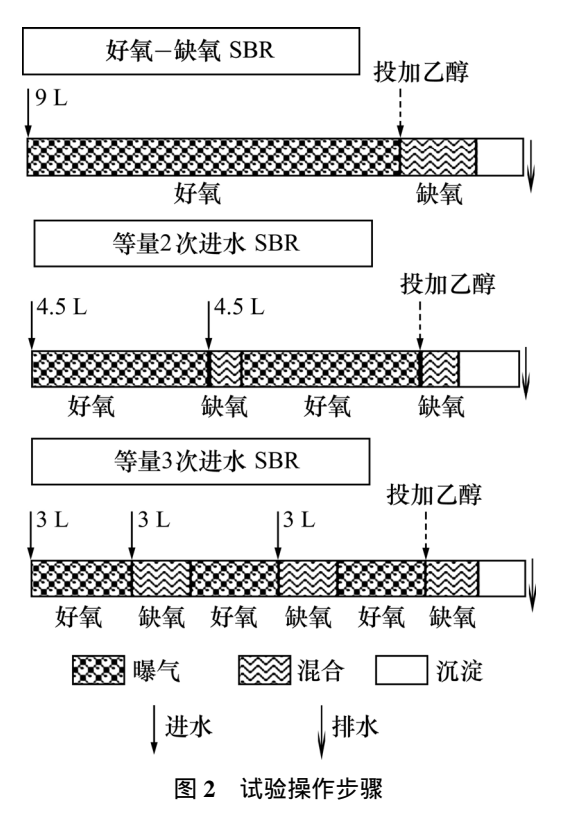


Fig.2 Operational patterns of SBR

1.3 分析方法

1.3.1 DO, pH和ORP测定

分别使用 Multi340i 型(WTW 公司)便携式多功能 DO 和 pH 测定仪测定。试验中 NH_4^+ -N ,COD , NO_2^- -N 和 NO_3^- -N 均采用标准方法分析[11]。

1.3.2 N₂O 测定方法

气态 N_2O 测定:采用 6890N 型(Agilent 公司)气相 色谱仪, HP-Plot/分子筛毛细管色谱柱测定。 N_2O 色谱条件:进样口温度为 110 ; 炉温为 180 ; ECD 检测器为 300 。

溶解性 N_2O 测定:溶解于活性污泥混合液中的 N_2O 采用上部空间法测定。在密闭条件下,将活性污泥混合液经泥水分离后 加入 0.5 mL 质量浓度为 1 000 mg/L 的 $HgCl_2$ 溶液抑制残余微生物的活性。于水样上部加入 N_2 , 30 下利用恒温摇床振荡 0.5 h 后,测定上部气体中的 N_2O 质量浓度 ,根据亨利定律计算溶解性 N_2O 质量浓度 [12]。

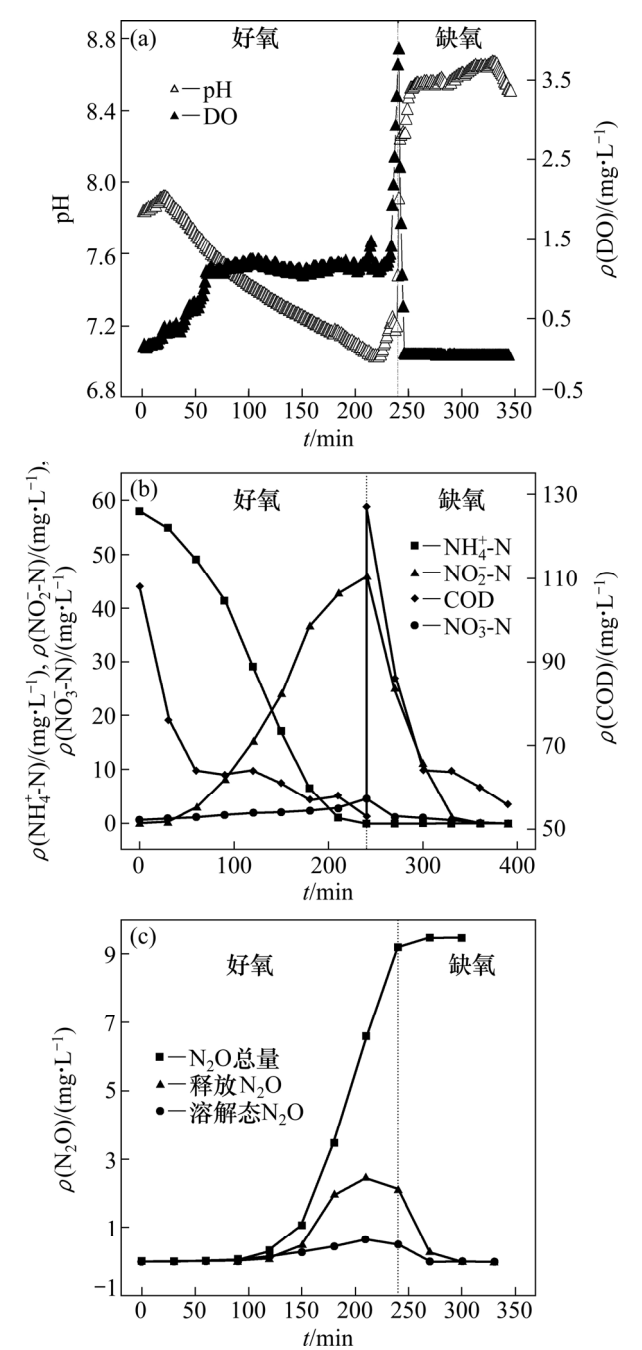
2 结果与讨论

2.1 1次进水中 SBR 短程脱氮过程 N₂O 质量浓度

图 3 所示为短程硝化反硝化 1 周期中好氧段与缺 氧段中 pH,溶解氧,NH₄+N,NO₂-N,NO₃-N 和 COD 质量浓度以及相应过程中 N2O 质量浓度的变化 曲线。由图 3(b)可以看出:污水进入反应器以后,有 机物被污泥迅速地吸附,然后开始大量降解,在有机 物被降解的同时,氨氮被少量的吸附和降解。当 t=60 min 时,有机物已经降解到64 mg/L,此刻以后有机物 降解速率大大降低,氨氮开始迅速地降解,并且 NO_2^- 也开始迅速积累。由图 3(a)可以看出:DO 质量浓度 初始不断上升,主要是有机物不断被氧化,所需的 DO 越来越少。t=60 min 以后, DO 曲线比较平缓,此时 的有机物降解得较少,主要是氨氧化菌进行氨氮氧化; 而 pH 呈现出先上升后下降的趋势。通过实时控制看 出, t=240 min 时, pH 以及 DO 质量浓度也上升,并 $\square \rho(NH_4^+-N)=0 \text{ mg/L}, \rho(NO_2^--N)=46 \text{ mg/L}, \rho(NO_3^--N)=$ 4.7 mg/L, 此时, 短程硝化结束。在 240 min 时, 以乙 醇作为碳源,开始反硝化。由图 3(c)可见:在 60 min 以前,几乎没有 N2O 产生,并且 NO2 积累很少,随 着氨氮被氧化,在 t=120 min 时, N_2O 开始产生, 随 着 NO_2 -质量浓度的积累,溶解态及释放的 N_2O 总量 逐渐增加。当 t=240 min 时, 硝化结束, N₂O 质量浓 度为 9.2 mg/L。反硝化过程中,由于碳源充足, NO_2^- 被迅速还原, N₂O 产量较少, 几乎均被还原为氮气。 硝化阶段产生的 N₂O 量约占总量的 96.84%。该过程 中 N₂O 转化率为 13.35%。其中 ,N₂O 转化率为 N₂O-N 产生量与系统中N去除量的比值。

2.2 等量进水中 SBR 短程脱氮过程 N_2O 质量浓度 2.2.1 等量 2 次进水 SBR 短程脱氮 N_2O 质量浓度

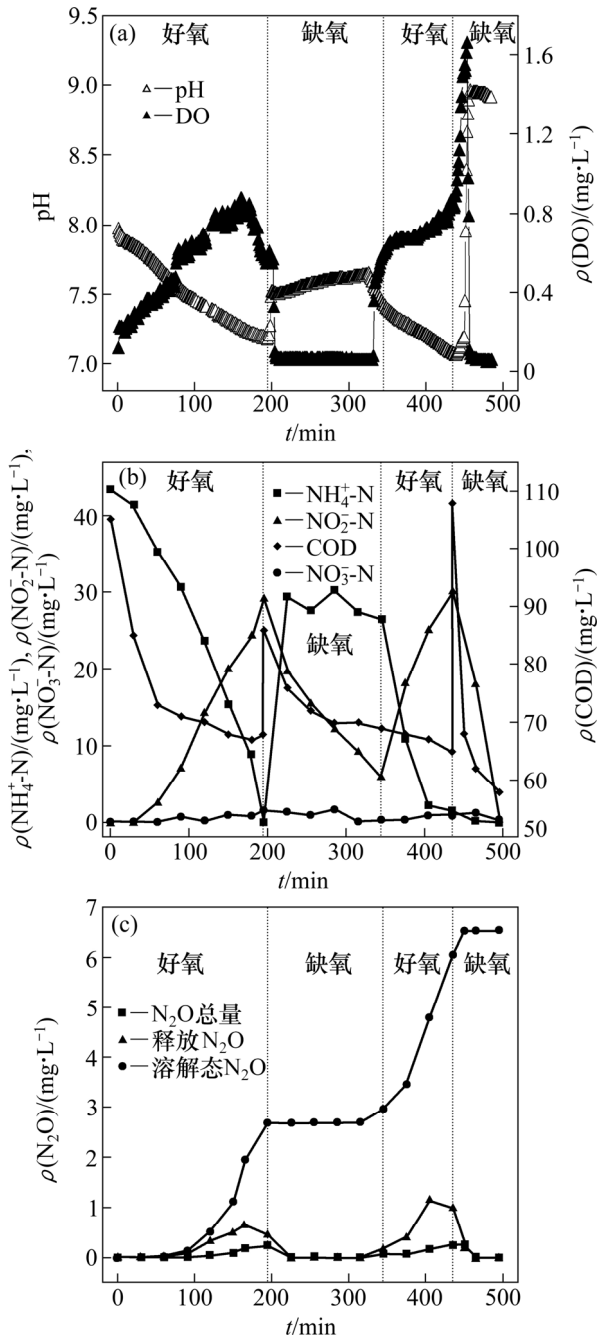
图 4 所示为等量 2 次进水短程脱氮中好氧段与缺氧段中 pH,溶解氧, NH_4^+ -N, NO_2^- -N, NO_3^- -N 和 COD 质量浓度以及 N_2 O 质量浓度的变化曲线。由图 4(a)和(b)可以看出:第 1 段中好氧段曲线与图 3 好氧段曲线类似,



(a) pH 与 DO 质量浓度的变化; (b) NH₄⁺-N, NO₂⁻-N, NO₃⁻-N 和 COD 质量浓度的变化; (c) N₂O 质量浓度的变化 图 **3** 一次进水短程脱氮过程中参数的变化

Fig.3 Variations of parameters of one-step influent during shortcut nitrification and denitrification process

有机物以及氨氮被降解 NO_2 积累到最大值 ,当 t=195 min 时,硝化结束。此时,停止曝气,投加等量实际生活污水 4.5 L 进行反硝化。第 1 段好氧段中的 NO_2 与进水中有机物进行反硝化,这样不仅降低 COD 质量浓度,还可以降低 NO_2 的积累量,使 NO_2 质量浓度由 29.18 mg/L 降解到 6.09 mg/L ,大大降低 NO_2 对



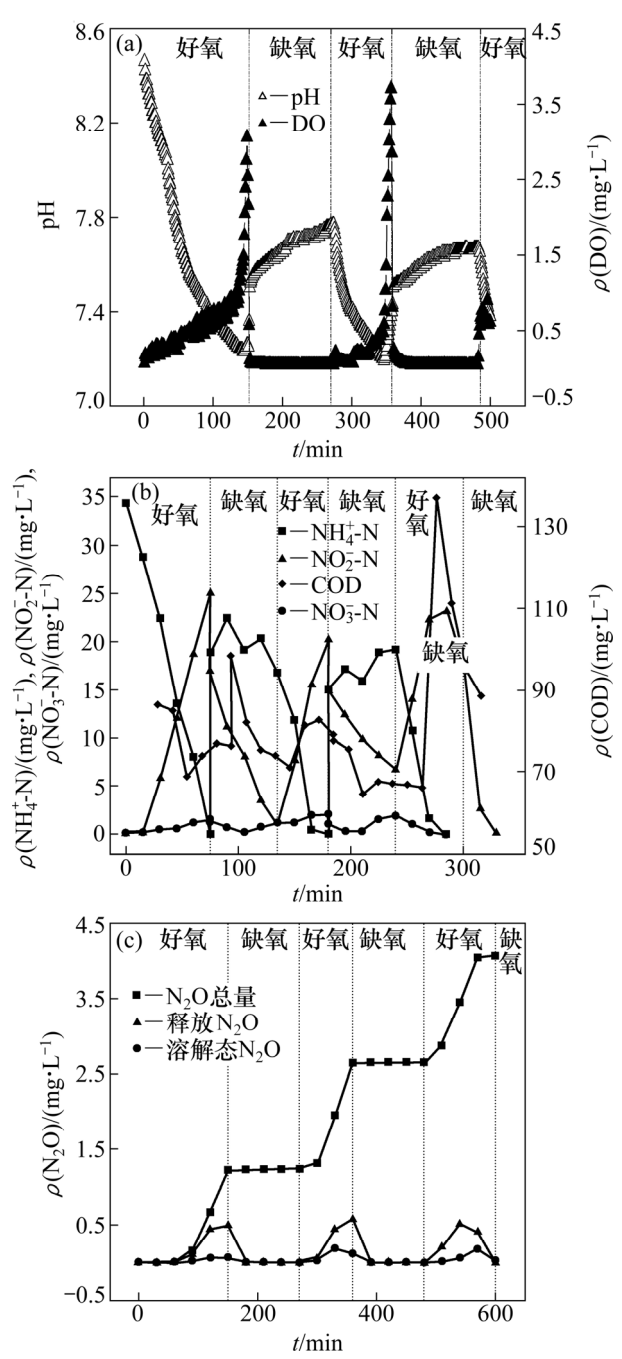
(a) pH 与 DO 质量浓度的变化; (b) NH₄⁺-N, NO₂⁻-N, NO₃⁻-N 和 COD 质量浓度的变化; (c) N₂O 质量浓度的变化 图 **4** 等量二次进水短程脱氮过程中参数的变化

Fig.4 Variations of parameters of two-step equivalent influent during shortcut nitrification and denitrification process

微生物的毒害。当 t=345 min 时,反硝化结束,开始曝气,进入硝化阶段,此时由于有机物被大量降解,所以该段反应时间与第 1 段相比要缩短约 100 min。当 t=435 min 时硝化结束。停止曝气,投加乙醇进行反硝化。由图 4(c)可以看出: N_2O 的产生主要还是在硝化阶段,而反硝化阶段的产生量很小。硝化阶段产

生的 N_2O 量大约占总量的 95.36%。 在反硝化中,由于碳源较充足,大量 NO_2 被还原,从而减少 NO_2 对 N_2O 还原酶的抑制,使 N_2O 还原速率增加, N_2O 的积累减少。第 2 段的硝化过程 N_2O 的产生与第 1 段相类似。该过程中 N_2O 转化率为 9.21%。

2.2.2 等量 3 次进水 SBR 短程脱氮 N₂O 质量浓度 图 5 所示为等量三次进水短程脱氮过程中参数的



(a) pH 与 DO 质量浓度的变化;
(b) NH₄⁺-N ,NO₂⁻-N ,NO₃⁻-N 和 COD 质量浓度的变化;
(c) N₂O 质量浓度的变化
图 5 等量三次进水短程脱氮过程中参数的变化

Fig.5 Variations of parameters of three -step equivalent influent during shortcut nitrification and denitrification process

变化。等量 3 次进水与 2 段等量进水硝化反硝化过程 相似,好氧段有机物以及氨氮被降解,NOo-积累到最 大值。硝化结束时,停止曝气,投加等量实际生活污 水 3 L 进行反硝化。反硝化结束,继续好氧缺氧过程。 第3段硝化结束后,停止曝气加入乙醇进行反硝化。 溶解态及释放的N₂O的产生也呈现出先增加后减少的 趋势。该过程中 N₂O 转化率为 5.73%。硝化过程中 N₂O 的释放量占总过程的 91.83%。由图 3~5 可以看出: 随着分段进水的段数的增多, N2O 的产量减少, N2O 转化率也随之降低。Yang 等[13]在研究生物脱氮过程中 发现, 硝化过程中随着 NO_2 的积累, 系统中 N_2O 产 量增加。缺氧反硝化过程中无 N₂O 的产生。本试验与 上述结论基本一致, N2O 主要产生在硝化阶段, 反硝 化阶段较少。硝化阶段产生的 N₂O 可能主要是由于 AOB 的好氧反硝化造成的。因为 AOB 主要是以 NO₂-为电子受体,以还原氢或者氨为电子供体进行反硝 化[14-15]。所以硝化阶段中,NO2-浓度积累的减少,AOB 好氧反硝化的电子受体减少, N_2O 产量也会减少。随 着段数的增加,硝化过程中 NO2-质量浓度的积累减 少, N₂O 的产量也减少, 在紧接着的反硝化过程中, 由于实际生活污水中含有一定浓度的有机物,所以 NO₂-质量浓度进一步降低,即使有未反应完的 NO₂-进入下一阶段的硝化中,但是NO2的积累随着段数的 增加是减少的,所以不同进水方式 N2O 产量由小到大 的顺序为: 3次进水,2次进水,1次进水。

3 结论

- (1) SBR 短程脱氮过程中 N_2O 主要产生在硝化阶段,反硝化阶段产生少量的 N_2O 。
- (2) SBR 短程脱氮过程中随着段数的增加 N_2O 量减少。因为 AOB 主要是以 NO_2 为电子受体,以还原氢或者氨为电子供体进行好氧反硝化的。随着段数的增加,硝化阶段中, NO_2 浓度积累的减少,AOB 好氧反硝化的电子受体 NO_2 减少, N_2O 产量也会减少。

参考文献:

- [1] Intergovernmental Panel on Climate Change (IPCC). Special report on emissions scenarios[M]. Cambridge: Cambridge University Press, 2000: 599.
- [2] WU Juan, ZHANG Jian, JIA Wen-lin, et al. Impact of COD/N ratio on nitrous oxide emission from microcosm wetlands and their performance in removing nitrogen from wastewater[J]. Bioresource Technology, 2009, 100(12): 2910–2917.

- [3] Tallec G, Josette G, Gilles B, et al. Nitrous oxide emissions from secondary activated sludge in nitrifying conditions of urban wastewater treatment plants: Effect of oxygenation level[J]. Water Research, 2006, 40: 2972–2980.
- [4] Alinsafi A, Adouani N, Beeline F, et al. Nitrite effect on nitrous oxide emission from denitrifying activated sludge[J]. Process Biochemistry, 2008, 43: 683–689.
- [5] YANG Qing, PENG Yong-zhen, LIU Xiu-hong, et al. Nitrogen removal via nitrite from municipal wastewater at low temperature using real-time control to optimize nitrifying communities[J]. Environmental Science and Technology, 2007, 41: 8159–8164.
- [6] Ahn J H, Kim S, Park H, et al, N_2O emissions from activated sludge processes, 2008–2009: results of a national monitoring survey in the United States[J]. Environmental Science and Technology, 2010, 44(12): 4505–4511.
- [7] Kim S W, Miyahara M, Fushinobu S, et al, Nitrous oxide emission from nitrifying activated sludge dependent on denitrification by ammonia-oxidizing bacteria[J]. Bioresource Technology, 2010, 101(11): 3958–3963.
- [8] ZHU Gui-bing, PENG Yong-zhen, LI Bai-kun, et al. Biological removal of nitrogen from wastewater[J]. Reviews of Environmental Contamination and Toxicology, 2008, 192: 159–195.
- [9] GUO Jian-hua, YANG Qing, PENG Yong-zhen, et al. Biological nitrogen removal with real-time control using step-feed SBR technology[J]. Enzyme and Microbial Technology, 2007, 40(6): 1564–1569.
- [10] GUO Jian-hua, PENG Yong-zhen, YANG Qing, et al. Theoretical analysis and enhanced nitrogen removal performance of step-feed SBR[J]. Water Science and Technology, 2008, 58(4): 795–802.
- [11] Clesceri L S, Greenberg A E, Eaton A D. Standard methods for examination of water and wastewater[M]. Washington, DC: American Public Health Association, 1999: 1–1325.
- [12] Noda N, Kaneko N, Milkami M, et al. Effects of SRT and DO on N₂O reductase activity in an anoxic-oxic activated sludge system[J]. Water Science and Technology, 2003, 48(11/12): 363-370.
- [13] YANG Qing, LIU Xiu-hong, PENG Cheng-yao, et al N₂O production during nitrogen removal via nitrite from domestic wastewater: Main sources and control method[J]. Environmental Science and Technology, 2009, 43(24): 9400–9406.
- [14] Bock E, Schmidt I, Stuven R, et al. Nitrogen loss caused by denitrifying Nitrosomonas cells using ammonium or hydrogen as electron donors and nitrite as electron acceptor[J]. Archives of Microbiology, 1995, 163(1): 16–20.
- [15] Jetten S M M, Strous M, van de Pas-Schoonen T K, et al. The anaerobic oxidation of ammonium[J]. Fems Microbiology Reviews, 1999, 22: 421–437.

(编辑 陈爱华)